

Билеты по курсу
«*Квантовая теория поля*»

Google Gemini 3 Pro
Александр Актанаев (оператор ИИ)
Андрей Можаров (вёрстка L^AT_EX)

26 декабря 2025

Оглавление

Билет №1 Уравнение Дирака. Свойства γ-матриц.	4
1 Вывод уравнения Дирака	4
1.1 Свойства матриц α_i и β	4
2 Ковариантная форма уравнения Дирака	5
3 Свойства γ -матриц	5
3.1 Эрмитово сопряжение	5
3.2 Матрица γ^5	6
4 Вычисление следов (Trace technology)	6
5 Свертки матриц (Contraction identities)	6
6 Представления матриц Дирака	7
6.1 Стандартное представление (Дирака-Паули)	7
6.2 Спинорное представление (Вейля, киральное)	7
6.3 Представление Майораны	7
Билет №2 Парадокс Клейна (формулировка).	8
1 Постановка задачи	8
1.1 Волновые функции	8
2 Режимы рассеяния	9
3 Вычисление токов и Парадокс	9
4 Физическая интерпретация	10
Билет №3 Симметрии и законы сохранения. Теорема Нетер. Интегралы движения.	11
1 Вывод теоремы Нетер	11
2 Основные виды симметрий и интегралы движения	12
2.1 Трансляционная инвариантность (Сдвиг в пространстве-времени) . .	12
2.2 Лоренц-инвариантность (Вращения и бусты)	12
2.3 Внутренние симметрии (Фазовые преобразования)	12
3 Резюме	13
Билет №4 Канонический формализм. Квантование скалярного поля. Классическая теория скалярного поля.	14
0.1 Переход к Гамильтонову формализму	14
1 Каноническое квантование	14
2 Разложение по плоским волнам (Моды)	15
2.1 Коммутаторы операторов рождения и уничтожения	15
3 Пространство состояний (Пространство Фока)	15
4 Гамильтониан и проблема нулевых колебаний	15
5 Импульс системы	16
6 Причинность	16
Билет №5 Фейнмановский пропагатор скалярного поля.	17

1	Определение через Т-произведение	17
2	Функция Грина уравнения Клейна-Гордона	17
3	Импульсное представление	18
4	Контур интегрирования (Правило Фейнмана)	18
5	Связь с другими функциями Грина	19
Билет №6	Нормальное произведение операторов.	20
1	Определение нормального произведения	20
1.1	Для бозонных полей	20
1.2	Для фермионных полей	21
2	Свойства нормального произведения	21
3	Примеры использования	21
3.1	Гамильтониан скалярного поля	21
3.2	Ток в КЭД	22
4	Обобщение: Теорема Вика	22
Билет №7	Спинорное поле. Импульсное представление.	23
1	Решения в виде плоских волн (Классический уровень)	23
1.1	Явный вид спиноров (в представлении Дирака-Паули)	23
1.2	Свойства спиноров	24
2	Квантование (Разложение по модам)	24
3	Антикоммутационные соотношения	24
4	Гамильтониан и энергия	25
Билет №8	Фейнмановский пропагатор поля Дирака.	26
1	Определение через Т-произведение	26
2	Дифференциальное уравнение	26
3	Импульсное представление	27
4	Связь со скалярным пропагатором	27
5	Структура пропагатора (Частицы и Античастицы)	27
Билет №9	Матрица рассеяния. Представление взаимодействия.	28
1	Представления в квантовой механике	28
1.1	Представление Шредингера (Sch)	28
1.2	Представление Гейзенберга (Heis)	28
1.3	Представление взаимодействия (Int)	28
2	Уравнение Шредингера в представлении взаимодействия	29
3	Оператор временной эволюции	29
4	Ряд Дайсона	29
5	S-матрица	30
Билет №10	Электромагнитное взаимодействие. Матричные элементы S-матрицы. Правила Фейнмана.	31
1	Матричные элементы S-матрицы	31
2	Инвариантная амплитуда \mathcal{M}	32
3	Правила Фейнмана для КЭД (в импульсном пространстве)	32
3.1	Элементы диаграммы	32
3.2	Построение выражения	33
4	Пример: Рассеяние электрона на мюоне ($e^- \mu^- \rightarrow e^- \mu^-$)	33

Билет №11	Эффективные линии. Уравнения Дайсона для функций Грина.	34
1	Собственно-энергетические части	34
1.1	Собственная энергия электрона $\Sigma(p)$	34
1.2	Поляризационный оператор фотона $\Pi^{\mu\nu}(q)$	34
2	Уравнение Дайсона для электрона	35
2.1	Графический вывод	35
2.2	Аналитический вид	35
3	Уравнение Дайсона для фотона	35
4	Полная система уравнений Дайсона-Шингера	36
5	Эффективные линии и перенормировка	36

Билет №1

Уравнение Дирака. Свойства γ -матриц.

Исторически П. Дирак (1928 г.) искал релятивистски ковариантное уравнение для электрона, которое было бы лишено недостатков уравнения Клейна-Гордона (проблемы с вероятностной интерпретацией плотности тока и энергии).

Основные требования к уравнению:

1. **Релятивистская инвариантность:** Уравнение должно быть симметричным относительно пространства и времени, т.е. содержать первые производные как по времени ($\partial/\partial t$), так и по координатам ($\partial/\partial x^i$).
2. **Линейность:** Уравнение должно быть линейным, чтобы выполнялся принцип суперпозиции.
3. **Соответствие классической физике:** В пределе должно получаться соотношение Эйнштейна для энергии-импульса: $E^2 = \vec{p}^2 + m^2$.

1 Вывод уравнения Дирака

Будем искать гамильтониан H в форме, линейной по импульсу \vec{p} :

$$i\frac{\partial\psi}{\partial t} = H\psi = (\vec{\alpha} \cdot \hat{\vec{p}} + \beta m)\psi = (-i\vec{\alpha} \cdot \nabla + \beta m)\psi, \quad (1)$$

где $\psi(\vec{x}, t)$ — некоторая многокомпонентная волновая функция (спинор), а $\vec{\alpha} = (\alpha_1, \alpha_2, \alpha_3)$ и β — матрицы, которые нужно определить.

Чтобы удовлетворить релятивистскому соотношению энергии $E^2 = p^2 + m^2$, возведем оператор энергии в квадрат:

$$H^2 = (\alpha_i p_i + \beta m)(\alpha_j p_j + \beta m) = \alpha_i \alpha_j p_i p_j + (\alpha_i \beta + \beta \alpha_i)p_i m + \beta^2 m^2. \quad (2)$$

Учитывая, что $p_i p_j = p_j p_i$, перепишем первое слагаемое как $\frac{1}{2}\{\alpha_i, \alpha_j\}p_i p_j$. Сравнивая с $E^2 = \vec{p}^2 + m^2$, получаем условия на матрицы:

$$\{\alpha_i, \alpha_j\} = 2\delta_{ij} \cdot I, \quad (3)$$

$$\{\alpha_i, \beta\} = 0, \quad (4)$$

$$\beta^2 = I. \quad (5)$$

Здесь $\{A, B\} = AB + BA$ — антисимметрический антикоммутатор.

1.1 Свойства матриц α_i и β

Из алгебраических свойств (3)-(5) следует:

- Матрицы должны быть эрмитовыми ($\alpha_i^\dagger = \alpha_i$, $\beta^\dagger = \beta$), чтобы гамильтониан был эрмитовым.
- Собственные значения матриц α_i и β равны ± 1 (так как их квадраты равны единичной матрице).

- След матриц равен нулю ($\text{Tr}(\alpha_i) = \text{Tr}(\beta) = 0$). Это следует из антисимметричности, например: $\beta = -\alpha_i \beta \alpha_i^{-1} \Rightarrow \text{Tr}(\beta) = -\text{Tr}(\beta)$.
- Минимальная размерность матриц, удовлетворяющих этим условиям, — 4×4 . Следовательно, волновая функция ψ должна быть четырехкомпонентным столбцом (биспинором).

2 Ковариантная форма уравнения Дирака

Для перехода к явно лоренц-ковариантному виду введем γ -матрицы (гамма-матрицы). Умножим уравнение (1) слева на β :

$$i\beta \frac{\partial \psi}{\partial t} = -i\beta \vec{\alpha} \cdot \nabla \psi + \beta^2 m \psi. \quad (6)$$

Введем обозначения:

$$\gamma^0 = \beta, \quad \gamma^i = \beta \alpha_i \quad (i = 1, 2, 3). \quad (7)$$

Используя 4-вектор производной $\partial_\mu = (\partial_0, \nabla)$ и соглашение о суммировании по повторяющимся индексам, уравнение принимает вид:

$$(i\gamma^\mu \partial_\mu - m)\psi = 0. \quad (8)$$

Или, используя "слэш" обозначение Фейнмана ($\not{d} = \gamma^\mu a_\mu$):

$$(i\not{d} - m)\psi = 0. \quad (9)$$

3 Свойства γ -матриц

Матрицы Дирака γ^μ ($\mu = 0, 1, 2, 3$) являются генераторами **алгебры Клиффорда**. Их определяющее свойство (фундаментальное антисимметричное соотношение):

$$\{\gamma^\mu, \gamma^\nu\} = \gamma^\mu \gamma^\nu + \gamma^\nu \gamma^\mu = 2g^{\mu\nu} \cdot I, \quad (10)$$

где $g^{\mu\nu} = \text{diag}(1, -1, -1, -1)$ — метрический тензор Минковского.

3.1 Эрмитово сопряжение

Из определения через эрмитовы α и β следует:

- γ^0 — эрмитова: $(\gamma^0)^\dagger = \beta^\dagger = \beta = \gamma^0$.
- γ^i — антиэрмитовы: $(\gamma^i)^\dagger = (\beta \alpha_i)^\dagger = \alpha_i^\dagger \beta^\dagger = \alpha_i \beta = -\beta \alpha_i = -\gamma^i$.

Оба свойства можно объединить в одну формулу:

$$\gamma^{\mu\dagger} = \gamma^0 \gamma^\mu \gamma^0. \quad (11)$$

3.2 Матрица γ^5

Важную роль играет матрица γ^5 , определяемая как произведение четырех основных матриц (иногда с множителем i):

$$\gamma^5 = i\gamma^0\gamma^1\gamma^2\gamma^3 = -\frac{i}{4!}\varepsilon_{\mu\nu\rho\sigma}\gamma^\mu\gamma^\nu\gamma^\rho\gamma^\sigma. \quad (12)$$

Свойства γ^5 :

- Антикоммутирует со всеми γ^μ : $\{\gamma^5, \gamma^\mu\} = 0$.
- В квадрате дает единицу: $(\gamma^5)^2 = I$.
- Эрмитова: $(\gamma^5)^\dagger = \gamma^5$.
- Используется для определения операторов киральности (проекторов): $P_{L,R} = \frac{1 \mp \gamma^5}{2}$.

4 Вычисление следов (Trace technology)

Для вычисления сечений рассеяния в КЭД часто требуется находить следы произведений γ -матриц. Основные тождества:

1. Линейность и цикличность:

$$\text{Tr}(A + B) = \text{Tr}(A) + \text{Tr}(B), \quad \text{Tr}(ABC) = \text{Tr}(BCA). \quad (13)$$

2. След нечетного числа матриц:

След произведения любого нечетного количества γ -матриц равен нулю.

$$\text{Tr}(\gamma^{\mu_1} \dots \gamma^{\mu_{2n+1}}) = 0. \quad (14)$$

Доказательство: Вставляем $(\gamma^5)^2 = I$ под знак следа и используем $\{\gamma^5, \gamma^\mu\} = 0$.

3. След двух матриц:

$$\text{Tr}(\gamma^\mu\gamma^\nu) = \text{Tr}(2g^{\mu\nu} - \gamma^\nu\gamma^\mu) = 8g^{\mu\nu} - \text{Tr}(\gamma^\mu\gamma^\nu) \Rightarrow \text{Tr}(\gamma^\mu\gamma^\nu) = 4g^{\mu\nu}. \quad (15)$$

В общем случае: $\text{Tr}(\not{a}\not{b}) = 4(a \cdot b)$.

4. След четырех матриц:

$$\text{Tr}(\gamma^\mu\gamma^\nu\gamma^\rho\gamma^\sigma) = 4(g^{\mu\nu}g^{\rho\sigma} - g^{\mu\rho}g^{\nu\sigma} + g^{\mu\sigma}g^{\nu\rho}). \quad (16)$$

5. Следы с γ^5 :

$$\text{Tr}(\gamma^5) = 0, \quad \text{Tr}(\gamma^5\gamma^\mu\gamma^\nu) = 0. \quad (17)$$

$$\text{Tr}(\gamma^5\gamma^\mu\gamma^\nu\gamma^\rho\gamma^\sigma) = -4i\varepsilon^{\mu\nu\rho\sigma}. \quad (18)$$

5 Свертки матриц (Contraction identities)

В вычислениях часто встречаются выражения вида $\gamma_\mu A \gamma^\mu$. Полезные формулы (d — раз мерность пространства, обычно $d = 4$):

$$\gamma_\mu\gamma^\mu = d \cdot I = 4I, \quad (19)$$

$$\gamma_\mu\gamma^\nu\gamma^\mu = (2-d)\gamma^\nu = -2\gamma^\nu, \quad (20)$$

$$\gamma_\mu\gamma^\nu\gamma^\rho\gamma^\mu = 4g^{\nu\rho} + (d-4)\gamma^\nu\gamma^\rho = 4g^{\nu\rho}, \quad (21)$$

$$\gamma_\mu\gamma^\nu\gamma^\rho\gamma^\sigma\gamma^\mu = -2\gamma^\sigma\gamma^\rho\gamma^\nu. \quad (22)$$

6 Представления матриц Дирака

Существует несколько способов выбрать конкретный вид матриц 4×4 , удовлетворяющих алгебре (10). Физические результаты не зависят от выбора представления.

6.1 Стандартное представление (Дирака-Паули)

Удобно для описания частиц в нерелятивистском пределе.

$$\gamma^0 = \begin{pmatrix} I & 0 \\ 0 & -I \end{pmatrix}, \quad \gamma^i = \begin{pmatrix} 0 & \sigma^i \\ -\sigma^i & 0 \end{pmatrix}, \quad \gamma^5 = \begin{pmatrix} 0 & I \\ I & 0 \end{pmatrix}. \quad (23)$$

Здесь σ^i — матрицы Паули, I — единичная матрица 2×2 .

6.2 Спинорное представление (Вейля, киральное)

Удобно для ультрарелятивистских частиц ($E \gg m$) и изучения киральной симметрии. γ^5 здесь диагональна.

$$\gamma^0 = \begin{pmatrix} 0 & I \\ I & 0 \end{pmatrix}, \quad \gamma^i = \begin{pmatrix} 0 & \sigma^i \\ -\sigma^i & 0 \end{pmatrix}, \quad \gamma^5 = \begin{pmatrix} -I & 0 \\ 0 & I \end{pmatrix}. \quad (24)$$

В этом представлении верхние две компоненты биспинора описывают левую (L) спиральность, а нижние — правую (R).

6.3 Представление Майораны

Выбирается так, чтобы все матрицы γ^μ были чисто мнимыми. Тогда уравнение Дирака становится действительным, что позволяет описывать истинно нейтральные частицы (майорановские фермионы).

Билет №2

Парадокс Клейна (формулировка).

Парадокс Клейна (O. Klein, 1929) — это физическое явление, возникающее при рассмотрении рассеяния релятивистской частицы (электрона) на высоком потенциальном барьере (ступеньке).

Суть парадокса заключается в том, что при высоте барьера V_0 , превышающей порог рождения пары ($V_0 > E + mc^2$), коэффициент отражения электронов от барьера может стать меньше единицы, даже если их кинетическая энергия в области барьера формально отрицательна. Это противоречит интуиции нерелятивистской квантовой механики, где частица с энергией $E < V_0$ должна полностью отражаться (коэффициент отражения $R = 1$), а в глубь барьера проникает лишь экспоненциально затухающая волна.

1 Постановка задачи

Рассмотрим одномерное движение релятивистского электрона с энергией E и массой m вдоль оси z . Пусть на него действует электростатический потенциал ступенчатого вида:

$$V(z) = \begin{cases} 0, & z < 0 \quad (\text{Область I}) \\ V_0, & z > 0 \quad (\text{Область II}) \end{cases} \quad (1)$$

Стационарное уравнение Дирака имеет вид:

$$(c\alpha_z \hat{p}_z + \beta mc^2 + V(z))\psi = E\psi. \quad (2)$$

Здесь $\hat{p}_z = -i\hbar \frac{d}{dz}$. Для простоты будем использовать систему единиц $\hbar = c = 1$.

1.1 Волновые функции

Решение ищется в виде плоских волн.

- **В области I ($z < 0, V = 0$):** Электрон падает на барьер справа. Импульс падающей частицы $p > 0$.

$$p = \sqrt{E^2 - m^2}. \quad (3)$$

Волновая функция ψ_I представляет собой сумму падающей и отраженной волн:

$$\psi_I(z) = A e^{ipz} \begin{pmatrix} 1 \\ 0 \\ \frac{p}{E+m} \\ 0 \end{pmatrix} + B e^{-ipz} \begin{pmatrix} 1 \\ 0 \\ \frac{-p}{E+m} \\ 0 \end{pmatrix}. \quad (4)$$

Здесь мы выбрали спин, направленный вверх, и использовали стандартное представление матриц Дирака. Множители определяются из уравнения Дирака для свободной частицы.

- **В области II ($z > 0, V = V_0$):** Здесь уравнение имеет вид $(E - V_0)\psi = (-i\alpha_z \frac{d}{dz} + \beta m)\psi$. Импульс p' в этой области определяется соотношением:

$$(E - V_0)^2 = p'^2 + m^2 \Rightarrow p' = \pm \sqrt{(E - V_0)^2 - m^2}. \quad (5)$$

Волновая функция прошедшей волны:

$$\psi_{II}(z) = Ce^{ip'z} \begin{pmatrix} 1 \\ 0 \\ \frac{p'}{E-V_0+m} \\ 0 \end{pmatrix}. \quad (6)$$

2 Режимы рассеяния

Поведение решения критически зависит от величины V_0 .

1. **Нерелятивистский барьер ($V_0 < E - m$):** Классическое прохождение. p' — вещественно.
2. **Слабый потенциал ($E - m < V_0 < E + m$):** Здесь $(E - V_0)^2 < m^2$, поэтому импульс p' становится чисто мнимым: $p' = i\kappa$. Волна в области II экспоненциально затухает ($\psi_{II} \sim e^{-\kappa z}$), происходит полное внутреннее отражение. Это соответствует классической ситуации «туннелирования нет».
3. **Сильный потенциал (Парадокс Клейна) ($V_0 > E + m$):** В этом случае $(E - V_0)^2 > m^2$, и импульс p' снова становится вещественным. Это означает, что в области II, где классически частица находится не может (ее полная энергия меньше потенциальной), снова возможно распространение незатухающих осциллирующих волн.

3 Вычисление токов и Парадокс

Рассмотрим случай сильного поля ($V_0 > E + m$). Из условия непрерывности волновой функции в точке $z = 0$ ($\psi_I(0) = \psi_{II}(0)$) находим соотношения между коэффициентами A, B, C . Для токов вероятности $j = \psi^\dagger \alpha_z \psi$ получаем:

$$j_{inc} \sim |A|^2 \frac{p}{E + m}, \quad (7)$$

$$j_{ref} \sim |B|^2 \frac{p}{E + m}, \quad (8)$$

$$j_{trans} \sim |C|^2 \frac{p'}{E - V_0 + m}. \quad (9)$$

Парадокс возникает при выборе знака импульса p' в прошедшей волне. Согласно теории групп (или требованию положительности групповой скорости), в области II мы должны выбрать решение, описывающее поток энергии *от* границы. Для электронов с «отрицательной кинетической энергией» групповая скорость $v_{gr} = \frac{dE}{dp}$ направлена противоположно импульсу. Это приводит к тому, что для описания уходящей частицы нужно выбирать решение с током, направленным *вправо*.

При $V_0 > E + m$ коэффициент отражения $R = |j_{ref}|/|j_{inc}|$ оказывается:

$$R = \left(\frac{1-r}{1+r} \right)^2, \quad \text{где } r = \frac{p'}{p} \frac{E + m}{E - V_0 + m}. \quad (10)$$

В сильном поле величина $r < 0$ (так как $E - V_0 + m < 0$). Следовательно, $R < 1$ не получается (как можно было бы ожидать для поглощения), а наоборот: Если строго следовать математике Дирака, ток прошедшей волны оказывается отрицательным (поток античастиц), и для сохранения полного потока отраженный ток должен быть **больше** падающего: $R > 1$. (В некоторых интерпретациях говорят о $R < 1$, но с отрицательной проводимостью, суть одна — сохранение заряда требует учета рождения частиц).

4 Физическая интерпретация

По Ландау-Лифшицу (Т. 4, §32, 35): Парадокс разрешается отказом от одночастичной интерпретации уравнения Дирака в сильных полях.

- Когда $V_0 > E + m$, потенциальная энергия настолько велика, что она «перекрывает» щель между положительным и отрицательным континуумом энергий ($2mc^2$).
- Уровень энергии электрона E справа от барьера оказывается на одной высоте с позитронными уровнями (состояниями с отрицательной энергией) сплошного спектра.
- Происходит процесс **рождения электрон-позитронных пар**.
- Падающий электрон отражается от барьера. Сильное электрическое поле на границе рождает пару e^-e^+ . Электрон пары улетает вместе с отраженным электроном (увеличивая j_{ref}), а позитрон пары уходит в глубь барьера (в область II).
- В области II движется позитрон с положительной энергией. В терминах уравнения Дирака это описывается как электрон с отрицательной энергией, движущийся вспять во времени.

Таким образом, «прошедшая волна» в области II — это не электрон, прошедший сквозь барьер, а поток позитронов, рожденных полем и уходящих на бесконечность. Это явление демонстрирует нестабильность вакуума в сверхкритических полях.

Билет №3

Симметрии и законы сохранения. Теорема Нетер. Интегралы движения.

В теории поля существует фундаментальная связь между свойствами симметрии физической системы и законами сохранения. Эта связь устанавливается **первой теоремой Нетер** (Эмми Нетер, 1918).

Утверждение теоремы: *Каждой непрерывной однопараметрической группе симметрий действия S соответствует закон сохранения, то есть существование тока $j^\mu(x)$, дивергенция которого равна нулю ($\partial_\mu j^\mu = 0$).*

Интеграл по пространству от временной компоненты этого тока $Q = \int d^3x j^0$ является сохраняющейся величиной (интегралом движения), то есть $\frac{dQ}{dt} = 0$.

1 Вывод теоремы Нетер

[(по книге Пескина-Шредера, §2.2)]

Пусть лагранжиан системы $\mathcal{L}(\phi, \partial_\mu \phi)$ зависит от набора полей $\phi(x)$ и их производных. Рассмотрим инфинитезимальное преобразование полей:

$$\phi(x) \rightarrow \phi'(x) = \phi(x) + \alpha \Delta \phi(x), \quad (1)$$

где α — бесконечно малый параметр, а $\Delta \phi(x)$ — деформация формы поля.

Если данное преобразование является симметрией, то действие $S = \int d^4x \mathcal{L}$ должно быть инвариантным (с точностью до поверхностных членов, которые не влияют на уравнения движения). Это означает, что вариация лагранжиана должна иметь вид 4-дивергенции некоторого вектора \mathcal{J}^μ :

$$\mathcal{L} \rightarrow \mathcal{L} + \alpha \partial_\mu \mathcal{J}^\mu. \quad (2)$$

С другой стороны, прямое вычисление вариации лагранжиана как функции полей дает:

$$\delta \mathcal{L} = \frac{\partial \mathcal{L}}{\partial \phi} (\alpha \Delta \phi) + \frac{\partial \mathcal{L}}{\partial (\partial_\mu \phi)} \partial_\mu (\alpha \Delta \phi). \quad (3)$$

Используя уравнения движения Эйлера-Лагранжа $\partial_\mu \left(\frac{\partial \mathcal{L}}{\partial (\partial_\mu \phi)} \right) = \frac{\partial \mathcal{L}}{\partial \phi}$, перепишем первое слагаемое в (3). Тогда вариация примет вид полной производной:

$$\delta \mathcal{L} = \alpha \partial_\mu \left(\frac{\partial \mathcal{L}}{\partial (\partial_\mu \phi)} \Delta \phi \right). \quad (4)$$

Приравнивая это выражение к (2), получаем:

$$\partial_\mu \left(\frac{\partial \mathcal{L}}{\partial (\partial_\mu \phi)} \Delta \phi \right) = \partial_\mu \mathcal{J}^\mu. \quad (5)$$

Следовательно, ток, определяемый как:

$$j^\mu = \frac{\partial \mathcal{L}}{\partial (\partial_\mu \phi)} \Delta \phi - \mathcal{J}^\mu, \quad (6)$$

сохраняется:

$$\partial_\mu j^\mu = 0. \quad (7)$$

2 Основные виды симметрий и интегралы движения

В зависимости от типа преобразования, получаются различные физические величины.

2.1 Трансляционная инвариантность (Сдвиг в пространстве-времени)

Преобразование координат: $x^\mu \rightarrow x^\mu - a^\mu$. Поле меняется как скаляр (для скалярного поля): $\phi(x) \rightarrow \phi(x + a) \approx \phi(x) + a^\nu \partial_\nu \phi$. Здесь $\Delta\phi = \partial_\nu \phi$, а вектор \mathcal{J}^μ возникает из того, что лагранжиан тоже сдвигается в аргументе: $\mathcal{L} \rightarrow \mathcal{L} + a^\nu \partial_\nu \mathcal{L} = \mathcal{L} + a^\nu \partial_\mu (\delta_\nu^\mu \mathcal{L})$.

Подставляя в формулу Нетер (6), получаем 4 сохраняющихся тока (по одному для каждого индекса ν), которые образуют **канонический тензор энергии-импульса** T^μ_ν :

$$T^\mu_\nu = \frac{\partial \mathcal{L}}{\partial(\partial_\mu \phi)} \partial_\nu \phi - \delta_\nu^\mu \mathcal{L}. \quad (8)$$

Закон сохранения: $\partial_\mu T^{\mu\nu} = 0$.

Интегралы движения:

- **Энергия (Гамильтониан):** $H = P^0 = \int d^3x T^{00}$.
- **Импульс:** $P^i = \int d^3x T^{0i}$.

2.2 Лоренц-инвариантность (Вращения и бусты)

Преобразование координат: $x^\mu \rightarrow x^\mu + \omega^\mu_\nu x^\nu$ (где $\omega_{\mu\nu} = -\omega_{\nu\mu}$). Поле преобразуется с учетом своего спина: $\phi(x) \rightarrow (1 + \frac{1}{2}\omega_{\rho\sigma} S^{\rho\sigma})\phi(x - \omega x)$.

Соответствующий ток (имеющий три индекса) называется тензором момента количества движения $M^{\mu\rho\sigma}$. Он сохраняется: $\partial_\mu M^{\mu\rho\sigma} = 0$. Его можно выразить через тензор энергии-импульса и спиновую часть:

$$M^{\mu\rho\sigma} = x^\rho T^{\mu\sigma} - x^\sigma T^{\mu\rho} + S_{spin}^{\mu\rho\sigma}. \quad (9)$$

Интегралы движения:

- **Момент импульса:** $J^{ij} = \int d^3x M^{0ij}$. (Пространственные вращения).
- **Интеграл центра инерции:** $K^{0i} = \int d^3x M^{00i}$. (Лоренцевы бусты).

2.3 Внутренние симметрии (Фазовые преобразования)

Рассмотрим комплексное поле (например, заряженное скалярное или дираковское). Лагранжиан инвариантен относительно глобального изменения фазы (группа $U(1)$):

$$\phi \rightarrow e^{i\alpha} \phi \approx (1 + i\alpha)\phi. \quad (10)$$

Здесь $\Delta\phi = i\phi$, $\Delta\phi^* = -i\phi^*$. Лагранжиан не меняется ($\mathcal{J}^\mu = 0$).

Ток Нетер:

$$j^\mu = i \left[\frac{\partial \mathcal{L}}{\partial(\partial_\mu \phi)} \phi - \frac{\partial \mathcal{L}}{\partial(\partial_\mu \phi^*)} \phi^* \right]. \quad (11)$$

Для дираковского поля ($\mathcal{L} = \bar{\psi}(i\gamma^\mu \partial_\mu - m)\psi$) это векторный ток:

$$j^\mu = \bar{\psi} \gamma^\mu \psi. \quad (12)$$

Интеграл движения:

- **Электрический заряд** (или число частиц минус число античастиц): $Q = \int d^3x j^0$.

3 Резюме

Симметрия	Сохраняющийся ток	Интеграл движения
Трансляции времени	Тензор $T^{\mu\nu}$	Энергия E
Трансляции координат	Тензор $T^{\mu\nu}$	Импульс \vec{P}
Вращения пространства	Тензор момента $M^{\mu\rho\sigma}$	Момент импульса \vec{J}
Фазовые преобразования	Векторный ток j^μ	Заряд Q

Билет №4

Канонический формализм. Квантование скалярного поля. Классическая теория скалярного поля.

Рассмотрим действительное скалярное поле $\phi(x)$, описывающее свободные частицы со спином 0 и массой m (нейтральные мезоны). Динамика поля определяется лагранжиевой плотностью (Лагранжианом):

$$\mathcal{L} = \frac{1}{2}(\partial_\mu\phi)^2 - \frac{1}{2}m^2\phi^2 = \frac{1}{2}[\dot{\phi}^2 - (\nabla\phi)^2 - m^2\phi^2]. \quad (1)$$

Уравнение движения, следующее из принципа наименьшего действия (уравнение Эйлера-Лагранжа), есть уравнение Клейна-Гордона:

$$(\partial^2 + m^2)\phi = 0 \quad \text{или} \quad (\square + m^2)\phi = 0. \quad (2)$$

0.1 Переход к Гамильтонову формализму

Для квантования нам необходимо определить канонически сопряженный импульс $\pi(x)$:

$$\pi(x) = \frac{\partial\mathcal{L}}{\partial\dot{\phi}(x)} = \dot{\phi}(x). \quad (3)$$

Плотность гамильтониана \mathcal{H} строится через преобразование Лежандра:

$$\mathcal{H} = \pi\dot{\phi} - \mathcal{L} = \pi^2 - \left[\frac{1}{2}\pi^2 - \frac{1}{2}(\nabla\phi)^2 - \frac{1}{2}m^2\phi^2 \right] = \frac{1}{2}\pi^2 + \frac{1}{2}(\nabla\phi)^2 + \frac{1}{2}m^2\phi^2. \quad (4)$$

Полный гамильтониан системы: $H = \int d^3x \mathcal{H}$.

1 Каноническое квантование

Процедура квантования заключается в замене классических полей $\phi(x)$ и $\pi(x)$ на операторы, действующие в Гильбертовом пространстве состояний, и наложении на них **одновременных канонических коммутационных соотношений** (ETCR — Equal Time Commutation Relations).

По аналогии с квантовой механикой ($[\hat{x}_i, \hat{p}_j] = i\delta_{ij}$), для полей постулируется:

$$[\phi(\vec{x}, t), \pi(\vec{y}, t)] = i\delta^{(3)}(\vec{x} - \vec{y}), \quad (5)$$

$$[\phi(\vec{x}, t), \phi(\vec{y}, t)] = 0, \quad (6)$$

$$[\pi(\vec{x}, t), \pi(\vec{y}, t)] = 0. \quad (7)$$

(Здесь и далее $\hbar = 1$).

2 Разложение по плоским волнам (Моды)

Так как уравнение Клейна-Гордона линейно, поле можно представить в виде суперпозиции плоских волн. В квантовой теории коэффициенты разложения становятся операторами рождения и уничтожения.

Общее решение записывается как интеграл Фурье:

$$\phi(\vec{x}, t) = \int \frac{d^3 p}{(2\pi)^3} \frac{1}{\sqrt{2E_p}} \left(a_{\vec{p}} e^{-ip \cdot x} + a_{\vec{p}}^\dagger e^{ip \cdot x} \right) \Big|_{p^0 = E_p}, \quad (8)$$

где $E_p = \sqrt{\vec{p}^2 + m^2}$, а $p \cdot x = E_p t - \vec{p} \cdot \vec{x}$. Соответственно, для импульса $\pi = \dot{\phi}$:

$$\pi(\vec{x}, t) = \int \frac{d^3 p}{(2\pi)^3} (-i) \sqrt{\frac{E_p}{2}} \left(a_{\vec{p}} e^{-ip \cdot x} - a_{\vec{p}}^\dagger e^{ip \cdot x} \right). \quad (9)$$

2.1 Коммутаторы операторов рождения и уничтожения

Используя соотношения для полей ϕ и π , можно найти коммутаторы для операторов $a_{\vec{p}}$ и $a_{\vec{p}}^\dagger$:

$$[a_{\vec{p}}, a_{\vec{q}}^\dagger] = (2\pi)^3 \delta^{(3)}(\vec{p} - \vec{q}), \quad (10)$$

$$[a_{\vec{p}}, a_{\vec{q}}] = [a_{\vec{p}}^\dagger, a_{\vec{q}}^\dagger] = 0. \quad (11)$$

Нормировочный множитель $(2\pi)^3$ является стандартным в релятивистской теории (в отличие от δ_{pq} в квантовой механике в ящике).

3 Пространство состояний (Пространство Фока)

- **Вакуум $|0\rangle$:** Состояние с наименьшей энергией, определяемое тем, что оно уничтожается любым оператором уничтожения:

$$a_{\vec{p}} |0\rangle = 0 \quad \text{для всех } \vec{p}. \quad (12)$$

- **Одночастичное состояние:** Действие оператора рождения на вакуум создает частицу с импульсом \vec{p} :

$$|\vec{p}\rangle = \sqrt{2E_p} a_{\vec{p}}^\dagger |0\rangle. \quad (13)$$

Множитель $\sqrt{2E_p}$ введен для релятивистски-инвариантной нормировки состояний: $\langle \vec{p} | \vec{q} \rangle = 2E_p (2\pi)^3 \delta^{(3)}(\vec{p} - \vec{q})$.

- **Многочастичные состояния:** Странятся путем многократного действия операторов рождения. Так как все a^\dagger коммутируют между собой, состояния симметричны относительно перестановки частиц, что соответствует статистике **Бозе-Эйнштейна**.

4 Гамильтониан и проблема нулевых колебаний

Выразим гамильтониан $H = \int d^3 x (\frac{1}{2} \pi^2 + \frac{1}{2} (\nabla \phi)^2 + \frac{1}{2} m^2 \phi^2)$ через операторы $a_{\vec{p}}$ и $a_{\vec{p}}^\dagger$. Подставляя разложение (8) и интегрируя по x , получаем:

$$H = \int \frac{d^3 p}{(2\pi)^3} E_p \left(a_{\vec{p}}^\dagger a_{\vec{p}} + \frac{1}{2} [a_{\vec{p}}, a_{\vec{p}}^\dagger] \right). \quad (14)$$

Используя $[a_{\vec{p}}, a_{\vec{p}}^\dagger] = \delta(0) \rightarrow \infty$, видим, что второе слагаемое дает бесконечную энергию вакуума (сумма энергий нулевых колебаний осцилляторов $\frac{1}{2}\hbar\omega$ по всем модам):

$$E_{vac} = \frac{1}{2} \int \frac{d^3 p}{(2\pi)^3} E_p \cdot (2\pi)^3 \delta(0) \rightarrow \infty. \quad (15)$$

Так как в эксперименте измеряется только разность энергий, эту бесконечную константу отбрасывают. Формально это делается с помощью процедуры **нормального упорядочения** (обозначается $: \dots :$), при которой все операторы рождения ставятся левее операторов уничтожения:

$$: a_{\vec{p}} a_{\vec{p}}^\dagger := a_{\vec{p}}^\dagger a_{\vec{p}}. \quad (16)$$

Перенормированный (нормальный) гамильтониан:

$$: H := \int \frac{d^3 p}{(2\pi)^3} E_p a_{\vec{p}}^\dagger a_{\vec{p}}. \quad (17)$$

Для этого гамильтониана $H|0\rangle = 0$.

5 Импульс системы

Аналогично, оператор полного импульса поля $\vec{P} = -\int d^3 x \pi \nabla \phi$ в нормальном упорядочении принимает вид:

$$: \vec{P} := \int \frac{d^3 p}{(2\pi)^3} \vec{p} a_{\vec{p}}^\dagger a_{\vec{p}}. \quad (18)$$

6 Причинность

В квантовой теории поля причинность выражается требованием, чтобы измерения в пространственно-подобных точках (интервал $(x - y)^2 < 0$) не влияли друг на друга. Это значит, что коммутатор полей должен исчезать вне светового конуса:

$$[\phi(x), \phi(y)] = 0, \quad \text{если } (x - y)^2 < 0. \quad (19)$$

Прямое вычисление показывает:

$$[\phi(x), \phi(y)] = D(x - y) - D(y - x), \quad (20)$$

где $D(x - y)$ — амплитуда распространения частицы. Вне светового конуса амплитуда перехода частицы $x \rightarrow y$ точно сокращается с амплитудой перехода $y \rightarrow x$, что обеспечивает причинность.

Билет №5

Фейнмановский пропагатор скалярного поля.

В квантовой теории поля процессы рассеяния и распространения частиц описываются с помощью функций Грина. Для построения диаграммной техники Фейнмана ключевую роль играет **фейнмановский пропагатор** (причинная функция Грина).

Физически пропагатор $D_F(x - y)$ представляет собой амплитуду вероятности того, что частица, рожденная в точке y , распространится (пропагирует) в точку x .

1 Определение через Т-произведение

Фейнмановский пропагатор для вещественного скалярного поля $\phi(x)$ определяется как вакуумное среднее от хронологически упорядоченного произведения операторов поля:

$$D_F(x - y) = \langle 0 | T\phi(x)\phi(y) | 0 \rangle, \quad (1)$$

где символ T -упорядочения действует следующим образом:

$$T\phi(x)\phi(y) = \begin{cases} \phi(x)\phi(y), & \text{если } x^0 > y^0 \\ \phi(y)\phi(x), & \text{если } y^0 > x^0 \end{cases} = \theta(x^0 - y^0)\phi(x)\phi(y) + \theta(y^0 - x^0)\phi(y)\phi(x). \quad (2)$$

Это определение обеспечивает причинность: частица всегда движется из более раннего момента времени в более поздний. В случае комплексного поля это соответствует распространению частицы из y в x (если $x^0 > y^0$) или античастицы из x в y (если $y^0 > x^0$).

2 Функция Грина уравнения Клейна-Гордона

Пропагатор $D_F(x - y)$ является функцией Грина для оператора Клейна-Гордона:

$$(\partial^2 + m^2)D_F(x - y) = -i\delta^{(4)}(x - y). \quad (3)$$

Доказательство: Применим оператор $(\partial^2 + m^2) = (\partial_0^2 - \nabla^2 + m^2)$ к выражению (1). Дифференцирование ступенчатых функций $\theta(t)$ по времени дает $\delta(t)$.

$$\begin{aligned} \partial_0[T\phi(x)\phi(y)] &= \delta(x^0 - y^0)\phi(x)\phi(y) - \delta(y^0 - x^0)\phi(y)\phi(x) + T(\partial_0\phi(x))\phi(y) \\ &= 0 + T\pi(x)\phi(y) \quad (\text{так как коммутатор полей при } x^0 = y^0 \text{ равен } 0). \end{aligned}$$

Вторая производная:

$$\partial_0^2[T\phi(x)\phi(y)] = \delta(x^0 - y^0)[\pi(x), \phi(y)] + T(\partial_0^2\phi(x))\phi(y).$$

Используя одновременной коммутатор $[\pi(\vec{x}), \phi(\vec{y})] = -i\delta^{(3)}(\vec{x} - \vec{y})$ и уравнение движения $(\partial^2 + m^2)\phi = 0$, получаем искомое равенство.

3 Импульсное представление

Для вычислений удобнее работать в импульсном пространстве. Сделаем преобразование Фурье:

$$D_F(x - y) = \int \frac{d^4 p}{(2\pi)^4} e^{-ip \cdot (x-y)} \tilde{D}_F(p). \quad (4)$$

Подставляя это в уравнение $(\partial^2 + m^2) D_F = -i\delta$, получаем алгебраическое уравнение $(-p^2 + m^2) \tilde{D}_F(p) = -i$. Отсюда

$$\tilde{D}_F(p) = \frac{i}{p^2 - m^2 + i\varepsilon}. \quad (5)$$

Бесконечно малая добавка $i\varepsilon$ ($\varepsilon \rightarrow +0$) вводится для того, чтобы правильно обойти полюса при интегрировании.

4 Контур интегрирования (Правило Фейнмана)

Знаменатель в (5) имеет полюса в точках:

$$p^2 - m^2 + i\varepsilon = (p^0)^2 - \vec{p}^2 - m^2 + i\varepsilon = 0 \Rightarrow p^0 = \pm\sqrt{\vec{p}^2 + m^2 - i\varepsilon} \approx \pm(E_{\vec{p}} - i\varepsilon). \quad (6)$$

Полюса смещены с вещественной оси:

- Полюс $+E_{\vec{p}}$ смещен вниз (в нижнюю полуплоскость).
- Полюс $-E_{\vec{p}}$ смещен вверх (в верхнюю полуплоскость).

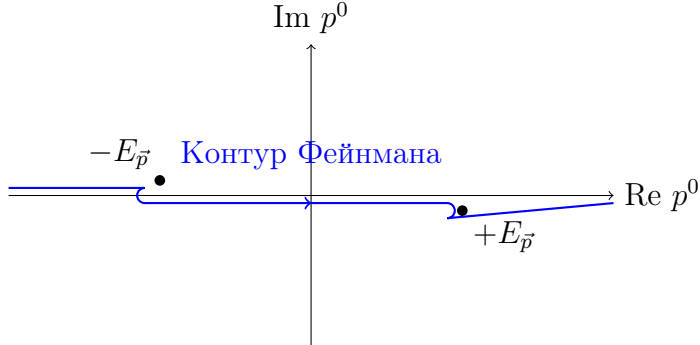


Рис. Билет №5.1: Расположение полюсов и контур интегрирования для фейнмановского пропагатора.

При вычислении интеграла по p^0 :

$$D_F(x - y) = \int \frac{d^3 p}{(2\pi)^3} e^{i\vec{p} \cdot (\vec{x} - \vec{y})} \int \frac{dp^0}{2\pi} \frac{ie^{-ip^0(x^0 - y^0)}}{(p^0 - E_{\vec{p}} + i\varepsilon)(p^0 + E_{\vec{p}} - i\varepsilon)}. \quad (7)$$

- Если $x^0 > y^0$ ($t > 0$), замыкаем контур в нижней полуплоскости ($e^{-ip^0 t} \rightarrow 0$ при $\text{Im } p^0 \rightarrow -\infty$). В контур попадает полюс $+E_{\vec{p}}$. Это дает вклад $e^{-iE_{\vec{p}} t}$ (положительно-частотная мода, частица).
- Если $x^0 < y^0$ ($t < 0$), замыкаем контур в верхней полуплоскости. В контур попадает полюс $-E_{\vec{p}}$. Это дает вклад $e^{iE_{\vec{p}} t}$ (отрицательно-частотная мода, античастица).

Таким образом, один и тот же контур (Фейнмановский) автоматически учитывает T -упорядочение.

5 Связь с другими функциями Грина

Помимо фейнмановского (D_F), существуют другие пропагаторы, отличающиеся правилом обхода полюсов:

- **Запаздывающий (D_R):** Оба полюса обходятся сверху. $D_R(x) = 0$ при $x^0 < 0$.
- **Опережающий (D_A):** Оба полюса обходятся снизу. $D_A(x) = 0$ при $x^0 > 0$.

Фейнмановский пропагатор можно выразить через них как:

$$D_F(x) = \theta(x^0)D^{(+)}(x) - \theta(-x^0)D^{(-)}(x), \quad (8)$$

где $D^{(\pm)}$ — частотные части функции Паули-Йордана.

Билет №6

Нормальное произведение операторов.

В квантовой теории поля операторы полей $\phi(x)$ строятся линейно из операторов рождения a_k^\dagger и уничтожения a_k . При построении составных операторов (например, гамильтониана H или тока j^μ) часто возникают произведения полей в одной точке.

Если просто перемножить операторы полей, возникают расходимости. Например, гамильтониан свободного скалярного поля (см. Билет 4) имеет вид:

$$H = \sum_k E_k (a_k^\dagger a_k + \frac{1}{2}). \quad (1)$$

Слагаемое $\sum_k \frac{1}{2} E_k$ дает бесконечную энергию вакуума. Аналогично, вакуумное среднее от простого произведения полей $\langle 0 | \phi(x) \phi(y) | 0 \rangle$ не равно нулю (оно равно пропагатору).

Для устранения этих вакуумных вкладов и приведения операторов к виду, в котором они "аннулируют" вакуум (т.е. $\langle 0 | \mathcal{O} | 0 \rangle = 0$), вводится процедура **нормального упорядочения**.

1 Определение нормального произведения

Нормальным произведением (или N -произведением) операторов поля называется такой порядок сомножителей, при котором **все операторы рождения стоят слева от всех операторов уничтожения**.

Обозначение: $: \hat{A} \hat{B} \dots :$ или $N(\hat{A} \hat{B} \dots)$.

1.1 Для бозонных полей

Пусть $\phi(x)$ — скалярное поле. Разложим его на положительно-частотную часть $\phi^+(x)$ (содержит операторы уничтожения a) и отрицательно-частотную часть $\phi^-(x)$ (содержит операторы рождения a^\dagger):

$$\phi(x) = \phi^+(x) + \phi^-(x). \quad (2)$$

Примечание по обозначениям: В книгах (например, у Боголюбова) часто используется обозначение ϕ^- для уничтожения и ϕ^+ для рождения. Здесь мы следуем конвенции Пескина-Шредера, где $\phi^+ \sim e^{-ipx} a$ (частота $E > 0$ в экспоненте) и $\phi^- \sim e^{ipx} a^\dagger$. Главное — разделить операторы a и a^\dagger .

Нормальное произведение двух полей определяется как:

$$:\phi(x)\phi(y): = \phi^+(x)\phi^+(y) + \phi^-(x)\phi^+(y) + \phi^-(y)\phi^+(x) + \phi^-(x)\phi^-(y). \quad (3)$$

Здесь слагаемое, которое в обычном произведении стояло бы "неправильно" ($\phi^+(x)\phi^-(y) \sim aa^\dagger$), переставлено местами ($\phi^-(y)\phi^+(x) \sim a^\dagger a$).

В общем случае для набора операторов рождения и уничтожения:

$$:a_{k_1} a_{k_2}^\dagger a_{k_3}: = a_{k_2}^\dagger a_{k_1} a_{k_3}. \quad (4)$$

Порядок среди самих операторов рождения (или уничтожения) не важен для бозонов, так как они коммутируют: $[a_k^\dagger, a_q^\dagger] = 0$.

1.2 Для фермионных полей

Для фермионов (поля Дирака $\psi, \bar{\psi}$) операторы антисимметричны. При перестановке фермионных операторов в процессе нормального упорядочения необходимо учитывать знак.

Правило: Переставляем операторы рождения налево, уничтожения направо, домножая на (-1) за каждую перестановку между фермионными операторами.

Пример для двух полей: Пусть $\psi = \psi^+ + \psi^-$ (где ψ^+ уничтожает частицы, ψ^- рождает античастицы).

$$:\psi_\alpha\psi_\beta:=\psi_\alpha^+\psi_\beta^++\psi_\alpha^-\psi_\beta^++\psi_\beta^-\psi_\alpha^++\psi_\alpha^-\psi_\beta^-. \quad (5)$$

Но если мы берем произведение ψ и $\bar{\psi}$:

$$:a_p a_q^\dagger: = -a_q^\dagger a_p. \quad (6)$$

2 Свойства нормального произведения

- Нулевое вакуумное среднее:** По определению, справа в каждом слагаемом нормального произведения стоит оператор уничтожения (действующий на $|0\rangle_R$) или слева стоит оператор рождения (действующий на $\langle 0|_L$). Поэтому:

$$\langle 0 | : \hat{A} \hat{B} \cdots : | 0 \rangle = 0. \quad (7)$$

(За исключением случая, когда произведение состоит только из с-чисел).

- Линейность и дистрибутивность:** Операция нормального упорядочения линейна:

$$:(\alpha \hat{A} + \beta \hat{B}) \hat{C} := \alpha : \hat{A} \hat{C} : + \beta : \hat{B} \hat{C} :. \quad (8)$$

- Связь с обычным произведением (Теорема Вика для двух операторов):** Разница между обычным и нормальным произведением — это с-число (коммутатор или антисимметрический элемент). Для бозонных полей:

$$\phi(x)\phi(y) =: \phi(x)\phi(y) : + \underbrace{[\phi^+(x), \phi^-(y)]}_{\text{спаривание}}. \quad (9)$$

Величина $D(x-y) = [\phi^+(x), \phi^-(y)] = \langle 0 | \phi(x)\phi(y) | 0 \rangle$ называется **спариванием** (contraction).
В итоге:

$$\phi(x)\phi(y) =: \phi(x)\phi(y) : + \langle 0 | \phi(x)\phi(y) | 0 \rangle. \quad (10)$$

3 Примеры использования

3.1 Гамильтониан скалярного поля

Классический гамильтониан $H = \int d^3x \frac{1}{2}(\pi^2 + (\nabla\phi)^2 + m^2\phi^2)$. В квантовой теории мы постулируем, что физический гамильтониан — это нормальное произведение классического выражения:

$$:H:=\int \frac{d^3p}{(2\pi)^3} E_p : (a_p a_p^\dagger + a_p^\dagger a_p) : \cdot \frac{1}{2} = \int \frac{d^3p}{(2\pi)^3} E_p a_p^\dagger a_p. \quad (11)$$

Энергия вакуума $\langle 0 | : H : | 0 \rangle = 0$ автоматически отброшена.

3.2 Ток в КЭД

Ток фермионов $j^\mu = \bar{\psi}\gamma^\mu\psi$. Вакуумное среднее $\langle 0|\bar{\psi}\gamma^\mu\psi|0\rangle$ в "наивной" теории бесконечно (суммирование по всем состояниям моря Дирака). Физический ток определяется как нормальное произведение:

$$j^\mu(x) = : \bar{\psi}(x)\gamma^\mu\psi(x) : . \quad (12)$$

Это определение гарантирует, что в вакууме нет тока и заряда. Также это обеспечивает симметрию заряда: $Q = \int : j^0 : d^3x \sim N_{e^-} - N_{e^+}$. Без нормального упорядочения заряд позитрона имел бы тот же знак, что и электрона (из-за бесконечного фона моря Дирака), или возникали бы бесконечные константы.

4 Обобщение: Теорема Вика

(Подробнее в вопросах про S-матрицу, но суть важна здесь). Нормальное произведение является основой для разложения T -произведения (хронологического), которое входит в формулу Дайсона для S-матрицы.

$$T(\phi(x_1) \dots \phi(x_n)) = : \phi(x_1) \dots \phi(x_n) : + \sum \text{все возможные спаривания.} \quad (13)$$

Это позволяет вычислять матричные элементы процессов рассеяния, сводя их к комбинаторике нормальных произведений.

Билет №7

Спинорное поле. Импульсное представление.

Спинорное поле $\psi(x)$ описывает фермионы со спином $1/2$ (например, электроны и кварки). Свободное поле подчиняется уравнению Дирака:

$$(i\gamma^\mu \partial_\mu - m)\psi(x) = 0. \quad (1)$$

Для перехода к квантовой теории и импульсному представлению необходимо найти полный набор решений этого уравнения в виде плоских волн, а затем разложить поле по этим модам.

1 Решения в виде плоских волн (Классический уровень)

Будем искать решения в виде плоских волн с определенным 4-импульсом p^μ ($p^2 = m^2, p^0 > 0$). Существует два типа решений:

1. Решения с положительной энергией (соответствуют частицам):

$$\psi(x) = u^s(p)e^{-ip \cdot x}. \quad (2)$$

2. Решения с отрицательной энергией (соответствуют античастицам):

$$\psi(x) = v^s(p)e^{ip \cdot x}. \quad (3)$$

Здесь $s = 1, 2$ — индекс спина (поляризации).

Подставляя эти анзацы в уравнение Дирака, получаем алгебраические уравнения для биспиноров (спиноров) $u(p)$ и $v(p)$:

$$(\not{p} - m)u^s(p) = 0, \quad (4)$$

$$(\not{p} + m)v^s(p) = 0. \quad (5)$$

где $\not{p} = \gamma^\mu p_\mu$.

1.1 Явный вид спиноров (в представлении Дирака-Паули)

В системе покоя частицы ($p^\mu = (m, 0, 0, 0)$) уравнения (4)-(5) дают:

$$u^s(p_{rest}) = \sqrt{2m} \begin{pmatrix} \xi^s \\ 0 \end{pmatrix}, \quad v^s(p_{rest}) = \sqrt{2m} \begin{pmatrix} 0 \\ \eta^s \end{pmatrix}, \quad (6)$$

где ξ^s и η^s — двухкомпонентные спиноры Паули (например, $\begin{pmatrix} 1 \\ 0 \end{pmatrix}$ и $\begin{pmatrix} 0 \\ 1 \end{pmatrix}$). Множитель $\sqrt{2m}$ выбран для релятивистской нормировки.

Для произвольного импульса p спиноры получаются действием оператора буста или прямым решением уравнения:

$$u^s(p) = \begin{pmatrix} \sqrt{p \cdot \sigma} \xi^s \\ \sqrt{p \cdot \bar{\sigma}} \xi^s \end{pmatrix}, \quad v^s(p) = \begin{pmatrix} \sqrt{p \cdot \sigma} \eta^s \\ -\sqrt{p \cdot \bar{\sigma}} \eta^s \end{pmatrix}, \quad (7)$$

где $\sigma^\mu = (1, \vec{\sigma})$, $\bar{\sigma}^\mu = (1, -\vec{\sigma})$.

1.2 Свойства спиноров

Для квантования критически важны соотношения ортогональности, нормировки и полноты.

1. **Лоренц-инвариантная нормировка:**

$$\bar{u}^r(p)u^s(p) = 2m\delta^{rs}, \quad (8)$$

$$\bar{v}^r(p)v^s(p) = -2m\delta^{rs}, \quad (9)$$

$$\bar{u}^r(p)v^s(p) = \bar{v}^r(p)u^s(p) = 0. \quad (10)$$

(Здесь $\bar{u} = u^\dagger \gamma^0$ — дираковское сопряжение). Обратите внимание: $u^\dagger u = 2E_p \delta^{rs}$ (плотность вероятности $\sim E$, испытывает Лоренцево сокращение).

2. **Соотношения полноты (Spin sums):** При вычислении сечений рассеяния часто нужно суммировать по поляризациям конечных частиц и усреднять по начальным.

$$\sum_{s=1,2} u^s(p)\bar{u}^s(p) = \not{p} + m, \quad (11)$$

$$\sum_{s=1,2} v^s(p)\bar{v}^s(p) = \not{p} - m. \quad (12)$$

2 Квантование (Разложение по модам)

В квантовой теории поля $\psi(x)$ становится оператором. Мы раскладываем его по полному набору плоских волн, вводя операторы рождения и уничтожения. Так как спиноры описывают фермионы, частицы и античастицы различаются (электрон e^- и позитрон e^+).

Разложение поля:

$$\psi(x) = \int \frac{d^3 p}{(2\pi)^3} \frac{1}{\sqrt{2E_p}} \sum_{s=1,2} \left(a_{\vec{p}}^s u^s(p) e^{-ip \cdot x} + b_{\vec{p}}^{s\dagger} v^s(p) e^{ip \cdot x} \right). \quad (13)$$

Дираковски сопряженное поле:

$$\bar{\psi}(x) = \int \frac{d^3 p}{(2\pi)^3} \frac{1}{\sqrt{2E_p}} \sum_{s=1,2} \left(b_{\vec{p}}^s \bar{v}^s(p) e^{-ip \cdot x} + a_{\vec{p}}^{s\dagger} \bar{u}^s(p) e^{ip \cdot x} \right). \quad (14)$$

Здесь введены два типа операторов:

- $a_{\vec{p}}^s$ — оператор уничтожения частицы (электрона) с импульсом \vec{p} и спином s .
- $b_{\vec{p}}^{s\dagger}$ — оператор рождения античастицы (позитрона) с импульсом \vec{p} и спином s .

Обратите внимание: при e^{ipx} (отрицательная частота) стоит оператор рождения античастицы, чтобы энергия состояния была положительной.

3 Антикоммутационные соотношения

Для фермионов статистика требует, чтобы операторы подчинялись **антикоммутационным** соотношениям ($\{A, B\} = AB + BA$):

$$\{a_{\vec{p}}^r, a_{\vec{q}}^{s\dagger}\} = (2\pi)^3 \delta^{(3)}(\vec{p} - \vec{q}) \delta^{rs}, \quad (15)$$

$$\{b_{\vec{p}}^r, b_{\vec{q}}^{s\dagger}\} = (2\pi)^3 \delta^{(3)}(\vec{p} - \vec{q}) \delta^{rs}. \quad (16)$$

Все остальные антикоммутаторы (например, $\{a, a\}$, $\{b, b\}$, $\{a, b^\dagger\}$) равны нулю.

Это приводит к принципу Паули: $(a_{\vec{p}}^{s\dagger})^2 = 0$ (нельзя создать два фермиона в одном состоянии).

4 Гамильтониан и энергия

Классический гамильтониан поля Дирака:

$$H = \int d^3x \bar{\psi} (-i\vec{\gamma} \cdot \nabla + m)\psi. \quad (17)$$

Подставляя разложение (13) и используя ортогональность спиноров, получаем:

$$H = \int \frac{d^3p}{(2\pi)^3} E_p \sum_s (a_{\vec{p}}^{s\dagger} a_{\vec{p}}^s - b_{\vec{p}}^s b_{\vec{p}}^{s\dagger}). \quad (18)$$

Знак «минус» перед вторым слагаемым возникает из-за антикоммутации. Чтобы энергия была положительной, мы используем нормальное упорядочение для фермионов (перестановка операторов меняет знак, $:bb^\dagger := -b^\dagger b$):

$$: H := \int \frac{d^3p}{(2\pi)^3} E_p \sum_s (a_{\vec{p}}^{s\dagger} a_{\vec{p}}^s + b_{\vec{p}}^{s\dagger} b_{\vec{p}}^s). \quad (19)$$

Теперь энергия системы равна сумме энергий частиц (N_e) и ан蒂частиц ($N_{\bar{e}}$), и она всегда положительно определена.

Билет №8

Фейнмановский пропагатор поля Дирака.

Фейнмановский пропагатор для поля Дирака $S_F(x - y)$ — это причинная функция Грина, описывающая распространение фермионов (электронов и позитронов) между двумя точками пространства-времени. В диаграммной технике он соответствует внутренней фермионной линии, соединяющей две вершины.

1 Определение через Т-произведение

Аналогично скалярному случаю, пропагатор определяется как вакуумное среднее от хронологически упорядоченного произведения полей. Однако для фермионов определение T -произведения включает знак минус при перестановке операторов:

$$S_F(x - y) = \langle 0 | T\psi(x)\bar{\psi}(y) | 0 \rangle, \quad (1)$$

где

$$T\psi(x)\bar{\psi}(y) = \begin{cases} \psi(x)\bar{\psi}(y), & \text{если } x^0 > y^0 \\ -\bar{\psi}(y)\psi(x), & \text{если } y^0 > x^0 \end{cases} \quad (2)$$

Знак минус необходим для сохранения лоренц-инвариантности и связи со спином (статистика Ферми-Дирака). Операторы полей антикоммутируют вне светового конуса, и минус компенсирует перестановку.

2 Дифференциальное уравнение

Пропагатор $S_F(x - y)$ является функцией Грина для оператора Дирака. Подействуем оператором $(i\cancel{\partial}_x - m)$ на определение (2):

$$\begin{aligned}
(i\partial_x - m)S_F(x-y) &= (i\gamma^0 \partial_0 + i\vec{\gamma} \cdot \nabla - m) [\theta(x^0 - y^0)\psi(x)\bar{\psi}(y) - \theta(y^0 - x^0)\bar{\psi}(y)\psi(x)] \\
&= \langle 0 | T(i\partial - m)\psi(x) \cdot \bar{\psi}(y) | 0 \rangle \\
&\quad + i\gamma^0 [\partial_0 \theta(x^0 - y^0)\psi(x)\bar{\psi}(y) - \partial_0 \theta(y^0 - x^0)\bar{\psi}(y)\psi(x)]. \tag{3}
\end{aligned}$$

Первое слагаемое равно нулю, так как $\psi(x)$ удовлетворяет уравнению Дирака. Во втором слагаемом используем $\partial_0\theta(t) = \delta(t)$:

$$\dots = i\gamma^0 \delta(x^0 - y^0) \langle 0 | \{ \psi(x), \bar{\psi}(y) \} | 0 \rangle. \quad (4)$$

Используя одновременной антисимметрический антикоммутатор $\{\psi(\vec{x}), \psi^\dagger(\vec{y})\} = \delta^{(3)}(\vec{x} - \vec{y})$ (помня, что $\bar{\psi} = \psi^\dagger \gamma^0$, то есть $\{\psi, \bar{\psi}\} = \gamma^0 \delta^{(3)}$), получаем $\gamma^0 \gamma^0 = 1$. Итоговое уравнение:

$$(i\not{\partial} - m)S_F(x-y) = i\delta^{(4)}(x-y). \quad (5)$$

(Обратите внимание: множитель i справа — это стандартная конвенция в физике частиц, отличающаяся от математической теории функций Грина).

3 Импульсное представление

Сделаем преобразование Фурье:

$$S_F(x - y) = \int \frac{d^4 p}{(2\pi)^4} e^{-ip \cdot (x-y)} \tilde{S}_F(p). \quad (6)$$

Подставляя в уравнение, получаем алгебраическое соотношение для матрицы 4×4 :

$$(\not{p} - m) \tilde{S}_F(p) = i. \quad (7)$$

Формально решение записывается как обратная матрица:

$$\tilde{S}_F(p) = \frac{i}{\not{p} - m}. \quad (8)$$

Чтобы избавиться от матрицы в знаменателе, домножим числитель и знаменатель на $(\not{p} + m)$ и воспользуемся тождеством $(\not{p} - m)(\not{p} + m) = p^2 - m^2$:

$$\tilde{S}_F(p) = \frac{i(\not{p} + m)}{p^2 - m^2 + i\varepsilon}. \quad (9)$$

Здесь, как и в скалярном случае, добавка $+i\varepsilon$ определяет правило обхода полюсов (Фейнмановский обход), соответствующее причинному распространению.

4 Связь со скалярным пропагатором

Пропагатор Дирака можно выразить через скалярный пропагатор $D_F(x - y)$:

$$S_F(x - y) = (i\not{\partial} + m)D_F(x - y). \quad (10)$$

Это следует из того, что $(\not{p} + m)$ в числителе в координатном пространстве переходит в оператор $(i\not{\partial} + m)$. Это отражает тот факт, что частица со спином $1/2$ переносит не только массу (как скаляр), но и спиновую информацию.

5 Структура пропагатора (Частицы и Античастицы)

Рассмотрим вычеты в полюсах $p^0 = \pm E_p$.

1. **При $x^0 > y^0$ (распространение вперед во времени):** Контур интегрирования замыкается снизу, захватывая полюс $p^0 = +E_p$. Числитель $(\not{p} + m)$ на массовой поверхности (где $\not{p}u = mu$) можно переписать через спиновые суммы:

$$\not{p} + m = \sum_{s=1,2} u^s(p) \bar{u}^s(p). \quad (11)$$

Это означает, что пропагатор переносит частицу (электрон) из y в x , суммируя по всем возможным спиновым состояниям.

2. **При $y^0 > x^0$ (распространение назад во времени):** Контур замыкается сверху, полюс $p^0 = -E_p$. Здесь работает проектор на состояния с отрицательной энергией:

$$\not{p} - m = \sum_{s=1,2} v^s(p) \bar{v}^s(p). \quad (12)$$

Это интерпретируется как распространение античастицы (позитрона) из x в y .

Таким образом, формула Фейнмана автоматически объединяет распространение электронов и позитронов в одну функцию.

Билет №9

Матрица рассеяния. Представление взаимодействия.

Основной задачей квантовой теории поля является вычисление вероятностей переходов между состояниями в процессах столкновения частиц. Пусть в далеком прошлом ($t \rightarrow -\infty$) система находится в начальном состоянии $|i\rangle$ (in-state), представляющем собой набор свободных частиц. В результате взаимодействия в далеком будущем ($t \rightarrow +\infty$) система переходит в конечное состояние $|f\rangle$ (out-state).

Амплитуда вероятности этого перехода определяется матричным элементом оператора рассеяния \hat{S} :

$$S_{fi} = \langle f | \hat{S} | i \rangle. \quad (1)$$

Оператор \hat{S} называется **матрицей рассеяния**. Он унитарен ($S^\dagger S = I$), что гарантирует сохранение полной вероятности (сумма вероятностей перехода во все возможные конечные состояния равна 1).

1 Представления в квантовой механике

Для вычисления \hat{S} удобно использовать **представление взаимодействия** (Interaction Picture), которое является промежуточным между представлением Шредингера и представлением Гейзенберга.

Разделим полный гамильтониан системы на свободную часть H_0 и гамильтониан взаимодействия H_{int} :

$$H = H_0 + H_{int}. \quad (2)$$

1.1 Представление Шредингера (Sch)

- Операторы не зависят от времени (если нет явной зависимости): \hat{O}_S .
- Состояния зависят от времени и подчиняются уравнению Шредингера:

$$i \frac{d}{dt} |\psi_S(t)\rangle = (H_0 + H_{int}) |\psi_S(t)\rangle. \quad (3)$$

1.2 Представление Гейзенberга (Heis)

- Состояния не зависят от времени: $|\psi_H\rangle = |\psi_S(0)\rangle$.
- Операторы эволюционируют с полным гамильтонианом: $\hat{O}_H(t) = e^{iHt} \hat{O}_S e^{-iHt}$.

1.3 Представление взаимодействия (Int)

Здесь мы хотим «спрятать» тривиальную эволюцию свободных частиц в операторы, а сложную динамику взаимодействия оставить в состояниях.

Определим вектор состояния в представлении взаимодействия $|\psi_I(t)\rangle$ через шредингеровский вектор:

$$|\psi_I(t)\rangle = e^{iH_0 t} |\psi_S(t)\rangle. \quad (4)$$

Операторы в представлении взаимодействия определяются как:

$$\hat{O}_I(t) = e^{iH_0t} \hat{O}_S e^{-iH_0t}. \quad (5)$$

В частности, операторы поля $\phi_I(x)$ в этом представлении удовлетворяют **свободным** уравнениям движения (Клейна-Гордона или Дирака), что позволяет использовать для них разложение по плоским волнам (как в Билетах 4 и 7).

2 Уравнение Шредингера в представлении взаимодействия

Найдем, как меняется состояние $|\psi_I(t)\rangle$ со временем. Дифференцируем определение:

$$\begin{aligned} i\frac{d}{dt}|\psi_I(t)\rangle &= i\frac{d}{dt}(e^{iH_0t}|\psi_S(t)\rangle) \\ &= i(iH_0)e^{iH_0t}|\psi_S(t)\rangle + e^{iH_0t}i\frac{d}{dt}|\psi_S(t)\rangle \\ &= -H_0|\psi_I(t)\rangle + e^{iH_0t}(H_0 + H_{int})|\psi_S(t)\rangle \\ &= -H_0|\psi_I(t)\rangle + e^{iH_0t}H_0e^{-iH_0t}|\psi_I(t)\rangle + e^{iH_0t}H_{int}e^{-iH_0t}|\psi_I(t)\rangle. \end{aligned} \quad (6)$$

Первые два члена сокращаются. Последний член — это гамильтониан взаимодействия в представлении взаимодействия:

$$H_I(t) = e^{iH_0t}H_{int}e^{-iH_0t}. \quad (7)$$

Таким образом, уравнение эволюции принимает вид (аналог уравнения Шредингера, но только с H_I):

$$i\frac{d}{dt}|\psi_I(t)\rangle = H_I(t)|\psi_I(t)\rangle. \quad (8)$$

Важно: В отличие от H_{int} (который обычно постоянен), $H_I(t)$ зависит от времени.

3 Оператор временной эволюции

Введем унитарный оператор эволюции $U(t, t_0)$, который переводит состояние из момента t_0 в момент t :

$$|\psi_I(t)\rangle = U(t, t_0)|\psi_I(t_0)\rangle. \quad (9)$$

Подставляя это в уравнение (8), получаем уравнение для оператора:

$$i\frac{d}{dt}U(t, t_0) = H_I(t)U(t, t_0), \quad (10)$$

с начальным условием $U(t_0, t_0) = 1$.

4 Ряд Дайсона

Уравнение (10) можно переписать в интегральной форме:

$$U(t, t_0) = 1 - i \int_{t_0}^t dt_1 H_I(t_1) U(t_1, t_0). \quad (11)$$

Решаем его методом итераций:

1. Нулевое приближение: $U^{(0)} = 1$.

2. Первое приближение:

$$U^{(1)}(t, t_0) = 1 - i \int_{t_0}^t dt_1 H_I(t_1). \quad (12)$$

3. Второе приближение (подставляем $U^{(1)}$ под интеграл):

$$U^{(2)}(t, t_0) = 1 - i \int_{t_0}^t dt_1 H_I(t_1) + (-i)^2 \int_{t_0}^t dt_1 \int_{t_0}^{t_1} dt_2 H_I(t_1) H_I(t_2). \quad (13)$$

Обратите внимание на пределы интегрирования во втором члене: $t_0 < t_2 < t_1 < t$. Операторы стоят в хронологическом порядке (более ранний t_2 справа).

Этот ряд можно записать компактно с помощью символа T -произведения (хронологического упорядочения), который автоматически расставляет операторы по времени и позволяет расширить пределы интегрирования до t :

$$\int_{t_0}^t dt_1 \int_{t_0}^{t_1} dt_2 H_I(t_1) H_I(t_2) = \frac{1}{2!} \int_{t_0}^t dt_1 \int_{t_0}^t dt_2 T[H_I(t_1) H_I(t_2)]. \quad (14)$$

Общая формула для оператора эволюции (ряд Дайсона):

$$U(t, t_0) = T \exp \left(-i \int_{t_0}^t dt' H_I(t') \right). \quad (15)$$

5 S-матрица

Матрица рассеяния — это предел оператора эволюции, когда начальный момент уходит в $-\infty$, а конечный в $+\infty$:

$$\hat{S} = U(\infty, -\infty) = T \exp \left(-i \int_{-\infty}^{\infty} d^4x \mathcal{H}_I(x) \right). \quad (16)$$

Здесь мы перешли от гамильтониана $H_I(t) = \int d^3x \mathcal{H}_I(x)$ к плотности гамильтониана взаимодействия $\mathcal{H}_I(x)$.

Это выражение является отправной точкой для построения теории возмущений. Разложение экспоненты в ряд дает слагаемые разного порядка по константе связи, которые графически изображаются с помощью диаграмм Фейнмана.

Билет №10

Электромагнитное взаимодействие. Матричные элементы S-матрицы. Правила Фейнмана.

Квантовая электродинамика (КЭД) описывает взаимодействие спинорного поля (электронов/позитронов) с векторным электромагнитным полем (фотонами). Лагранжиан взаимодействия строится на основе принципа *минимальной связи* (замена обычной производной на ковариантную: $\partial_\mu \rightarrow D_\mu = \partial_\mu + ieA_\mu$).

Плотность гамильтониана взаимодействия (в представлении взаимодействия):

$$\mathcal{H}_{int} = -\mathcal{L}_{int} = j^\mu A_\mu = e\bar{\psi}\gamma^\mu\psi A_\mu, \quad (1)$$

где:

- $e > 0$ — элементарный заряд (заряд электрона равен $-e$).
- $\psi(x)$ — оператор электрон-позитронного поля.
- $A_\mu(x)$ — оператор электромагнитного поля.

1 Матричные элементы S-матрицы

Амплитуда вероятности перехода из начального состояния $|i\rangle$ в конечное $|f\rangle$ дается элементом S-матрицы:

$$S_{fi} = \langle f | \hat{S} | i \rangle = \langle f | T \exp \left(-i \int d^4x e \bar{\psi}(x) \gamma^\mu \psi(x) A_\mu(x) \right) | i \rangle. \quad (2)$$

Разложение экспоненты в ряд теории возмущений дает:

$$S = 1 + S^{(1)} + S^{(2)} + \dots \quad (3)$$

- $S^{(1)} \sim \int (\bar{\psi} A \psi)$: Описывает процессы с участием 3 частиц (рождение фотона электроном и т.д.). В свободном пространстве запрещено законами сохранения энергии-импульса.
- $S^{(2)} \sim \frac{(-ie)^2}{2!} \int d^4x d^4y T[(\bar{\psi} \gamma^\mu \psi A_\mu)_x (\bar{\psi} \gamma^\nu \psi A_\nu)_y]$. Описывает основные процессы: рассеяние электрона на электроне, комптон-эффект и т.д.

Для вычисления матричных элементов используется **Теорема Вика**: T -произведение операторов сводится к сумме нормальных произведений ($:\dots:$) со всеми возможными спариваниями (пропагаторами).

- Спаривание полей $\psi(x)$ и $\bar{\psi}(y)$ дает фермионный пропагатор $S_F(x - y)$.
- Спаривание полей $A_\mu(x)$ и $A_\nu(y)$ дает фотонный пропагатор $D_F^{\mu\nu}(x - y)$.
- Неспаренные операторы действуют на внешние состояния $|i\rangle$ и $|f\rangle$, рождая или уничтожая частицы.

2 Инвариантная амплитуда \mathcal{M}

Матричный элемент всегда содержит дельта-функцию, обеспечивающую сохранение полного 4-импульса:

$$S_{fi} = \delta_{fi} + i(2\pi)^4 \delta^{(4)}(P_f - P_i) \mathcal{M}_{fi}. \quad (4)$$

Величина \mathcal{M} называется **инвариантной амплитудой** (или матричным элементом Фейнмана). Именно для вычисления $i\mathcal{M}$ формулируются правила Фейнмана.

3 Правила Фейнмана для КЭД (в импульсном пространстве)

Чтобы вычислить $i\mathcal{M}$ для заданного процесса, нужно нарисовать все топологически различные диаграммы данного порядка теории возмущений и сопоставить элементам диаграммы аналитические выражения.

3.1 Элементы диаграммы

1. **Вершина взаимодействия:** В каждой точке, где сходятся две фермионные линии и одна фотонная:

$$\Rightarrow -ie\gamma^\mu$$

(Интегрирование по координатам дает $(2\pi)^4 \delta(\sum p)$, что учитывается в сохранении импульса в каждом узле).

2. **Внутренние линии (Пропагаторы):**

- **Фотон** (линия с импульсом k , соединяющая индексы μ и ν):

$$\frac{-ig_{\mu\nu}}{k^2 + i\varepsilon} \quad (5)$$

(В фейнмановской калибровке).

- **Фермион** (электрон/позитрон, линия с импульсом p):

$$\frac{i(p + m)}{p^2 - m^2 + i\varepsilon} \quad (6)$$

3. **Внешние линии (Поляризационные волновые функции):**

- **Входящий электрон** (импульс p , спин s): $u^s(p)$.
- **Выходящий электрон** (импульс p , спин s): $\bar{u}^s(p)$.
- **Входящий позитрон** (античастица): $\bar{v}^s(p)$.
- **Выходящий позитрон**: $v^s(p)$.
- **Входящий фотон** (импульс k , поляризация λ): $\varepsilon_\mu^\lambda(k)$.
- **Выходящий фотон**: $\varepsilon_\mu^{\lambda*}(k)$.

3.2 Построение выражения

- Направление:** Фермионные линии имеют стрелки. Выражение для фермионной цепочки записывается *против* направления стрелок (справа налево в матричном смысле):

$$\bar{u}(p') \dots \gamma^\mu \dots u(p)$$

- Сохранение импульса:** В каждой вершине выполняется закон сохранения 4-импульса (сумма входящих равна сумме выходящих).
- Интегрирование:** По каждому внутреннему импульсу q , который не фиксирован законом сохранения (петли), проводится интегрирование $\int \frac{d^4 q}{(2\pi)^4}$.
- Знаки:**
 - Каждый замкнутый фермионный цикл дает множитель (-1) .
 - Знак минус возникает при перестановке тождественных фермионов в конечном состоянии (статистика Ферми).
- Симметрийные факторы:** В КЭД они обычно равны 1, но нужно быть внимательным с тождественными фотонами.

4 Пример: Рассеяние электрона на мюоне ($e^- \mu^- \rightarrow e^- \mu^-$)

В низшем порядке (e^2) есть одна диаграмма: обмен виртуальным фотоном. Пусть p_1, p_2 — импульсы начальных электрона и мюона, p_3, p_4 — конечных. Обменный импульс $q = p_1 - p_3 = p_4 - p_2$.

Амплитуда $i\mathcal{M}$:

$$i\mathcal{M} = \underbrace{[\bar{u}(p_3)(-ie\gamma^\mu)u(p_1)]}_{\text{электронный ток}} \cdot \underbrace{\frac{-ig_{\mu\nu}}{q^2}}_{\text{пропагатор}} \cdot \underbrace{[\bar{u}(p_4)(-ie\gamma^\nu)u(p_2)]}_{\text{мюонный ток}}. \quad (7)$$

Итого:

$$\mathcal{M} = -\frac{e^2}{q^2} (\bar{u}_3 \gamma^\mu u_1) (\bar{u}_4 \gamma_\mu u_2). \quad (8)$$

Квадрат модуля этой амплитуды (после суммирования по спинам) дает сечение рассеяния.

Билет №11

Эффективные линии. Уравнения Дайсона для функций Грина.

В теории возмущений мы оперируем свободными пропагаторами (тонкими линиями на диаграммах), которые описывают распространение невзаимодействующих частиц. Однако в полной теории частица постоянно взаимодействует с вакуумными флуктуациями (виртуальнымиарами, фотонами и т.д.).

Эффективная линия (или точный пропагатор, одетая линия) описывает распространение частицы с учетом всех возможных взаимодействий с вакуумом. На диаграммах эффективные линии обычно обозначаются жирными линиями или линиями с заштрихованным кружком.

Соотношения, связывающие точные пропагаторы с «голыми» (свободными) пропагаторами и собственно-энергетическими частями, называются **уравнениями Дайсона** (F. Dyson, 1949).

1 Собственно-энергетические части

Для построения уравнений Дайсона необходимо ввести понятие одночастично-неприводимых (1PI — One-Particle Irreducible) диаграмм.

1.1 Собственная энергия электрона $\Sigma(p)$

Рассмотрим все диаграммы, имеющие две внешние электронные линии. Выделим из них те, которые *нельзя* разделить на две несвязные части, разрезав одну внутреннюю электронную линию. Сумма всех таких диаграмм (без внешних пропагаторов) называется **собственно-энергетической частью** электрона (или массовым оператором $M(p)$ в терминологии Ландау-Лифшица). Обозначим её $-i\Sigma(p)$.

Примеры вкладов в $\Sigma(p)$:

- Однопетлевая диаграмма (собственная энергия 2-го порядка): испускание и поглощение виртуального фотона.
- Двухпетлевые диаграммы и т.д.

1.2 Поляризационный оператор фотона $\Pi^{\mu\nu}(q)$

Аналогично, для фотона рассматриваются диаграммы с двумя внешними фотонными линиями, которые нельзя разбить разрезанием одной фотонной линии. Сумма таких диаграмм называется **поляризационным оператором**. Обозначим его $i\Pi^{\mu\nu}(q)$. В силу калибровочной инвариантности $\Pi^{\mu\nu}(q) = (q^2 g^{\mu\nu} - q^\mu q^\nu) \Pi(q^2)$.

2 Уравнение Дайсона для электрона

2.1 Графический вывод

Точный пропагатор электрона $S(p)$ (или $G(p)$) представляет собой сумму ряда, где частица может произвольное число раз испытывать виртуальные взаимодействия, описываемые $\Sigma(p)$. Этот ряд представляет собой геометрическую прогрессию:

$$\text{---} = \text{---} + \text{---} \Sigma \text{---} + \text{---} \Sigma \text{---} \Sigma \text{---} + \dots$$

Обозначим свободный пропагатор $S_0(p) = \frac{i}{\not{p}-m_0}$. Тогда ряд записывается как:

$$S(p) = S_0(p) + S_0(p)(-i\Sigma(p))S_0(p) + S_0(p)(-i\Sigma(p))S_0(p)(-i\Sigma(p))S_0(p) + \dots \quad (1)$$

Это можно переписать в виде рекуррентного уравнения (уравнения Дайсона):

$$S(p) = S_0(p) + S_0(p)(-i\Sigma(p))S(p). \quad (2)$$

Здесь справа стоит **точный** пропагатор $S(p)$, что соответствует суммированию всего «хвоста» прогрессии.

2.2 Аналитический вид

Умножим уравнение на $S_0^{-1}(p)$ слева и на $S^{-1}(p)$ справа:

$$S^{-1}(p) = S_0^{-1}(p) - (-i\Sigma(p)) = S_0^{-1}(p) + i\Sigma(p). \quad (3)$$

Вспоминая явный вид $S_0^{-1}(p) = -i(\not{p}-m_0)$ (с точностью до i , в зависимости от конвенции), получаем выражение для точного пропагатора:

$$S(p) = \frac{i}{\not{p}-m_0-\Sigma(p)}. \quad (4)$$

Физический смысл: Взаимодействие приводит к сдвигу массы частицы. Физическая масса m определяется полюсом точного пропагатора: $\not{p}-m_0-\Sigma(\not{p}=m)=0$.

3 Уравнение Дайсона для фотона

Аналогично строится уравнение для точного фотонного пропагатора $D_{\mu\nu}(q)$ (в Ландау-Лифшице обозначается $\mathcal{D}_{\mu\nu}$). Пусть свободный пропагатор $D_{0\mu\nu}(q) = \frac{-ig_{\mu\nu}}{q^2}$. Суммирование вставок поляризационного оператора дает:

$$D_{\mu\nu}(q) = D_{0\mu\nu}(q) + D_{0\mu\rho}(q)(i\Pi^{\rho\sigma}(q))D_{\sigma\nu}(q). \quad (5)$$

Для скалярной части пропагатора (в фейнмановской калибровке) это дает:

$$D(q^2) = \frac{-i}{q^2(1-\Pi(q^2))}. \quad (6)$$

В общем виде для обратных пропагаторов (символически):

$$D^{-1} = D_0^{-1} - \Pi. \quad (7)$$

4 Полная система уравнений Дайсона-Швингера

В более строгой формулировке (Боголюбов-Ширков, Ландау-Лифшиц §107) уравнения Дайсона связывают точные пропагаторы не просто с Σ и Π , а выражают сами Σ и Π через точные пропагаторы и **точную вершину** Γ^μ .

- Уравнение для массового оператора:** Массовый оператор $\Sigma(p)$ сам выражается через точный фотонный пропагатор D , точный электронный пропагатор S и точную вершину Γ :

$$\Sigma(p) = ie^2 \int \frac{d^4 k}{(2\pi)^4} \gamma^\mu S(p+k) \Gamma^\nu(p+k, p) D_{\mu\nu}(k). \quad (8)$$

Графически это означает, что «блоб» собственной энергии раскрывается в однопетлевую структуру, но с жирными линиями и закрашенной вершиной.

- Уравнение для поляризационного оператора:**

$$\Pi^{\mu\nu}(q) = -ie^2 \text{Tr} \int \frac{d^4 p}{(2\pi)^4} \gamma^\mu S(p+q) \Gamma^\nu(p+q, p) S(p). \quad (9)$$

Таким образом, мы имеем систему интегральных уравнений (уравнения Дайсона-Швингера) для точных функций Грина S, D, Γ . Эта система незамкнута (уравнение для Γ будет включать более сложные функции), но является основой для непертурбативных методов и анализа перенормировок.

5 Эффективные линии и перенормировка

Введение эффективных линий позволяет переписать ряды теории возмущений более компактно (скелетные диаграммы), где вместо обычных линий используются жирные. Это ключевой шаг в процедуре перенормировки:

- Бесконечности, возникающие в петлях Σ и Π , «прячутся» в перенормировку массы ($m_0 \rightarrow m$) и волновой функции (Z -факторы).
- Вблизи массовой поверхности ($p^2 \approx m^2$) точный пропагатор ведет себя как свободный, умноженный на константу перенормировки Z_2 :

$$S(p) \approx \frac{iZ_2}{\not{p} - m}. \quad (10)$$